Table S2. Genomic regions showing introgression by strain (*C. immitis*=white; *C. posadasii*=black).

Supercontig	Start (bp)	Stop (bp)	RS	H538.1	RMSCC_2394	RMSCC_3703	RMSCC_3505	RMSCC_3693	RMSCC_2395	RMSCC_3474	RMSCC_3705	RMSCC_3377	C735	CPA_0001	CPA_0020	CPA_0066	RMSCC_1037	RMSCC_1038	RMSCC_2133	RMSCC_3488	RMSCC_3700	Silveira
1	673,758	674,884		■									■	■	■	■	■	■	■	■	■	■
1	883,037	887,010				■							■	■	■	□	■	■	■	■	■	■
1	887,076	909,616		■		■							■	■	■	■	■	■	■	■	■	■
1	909,702	918,961	■			■					■		■	■	■	■	■	■	■	■	■	■
1	1,101,568	1,106,446											■	□	■	■	□	□	■	□	■	■
1	1,106,609	1,114,673											■	□	■	■	□	□	■	□	□	■
1	1,128,638	1,129,774	■			■					■		■	■	■	■	■	■	■	■	■	■
1	1,129,836	1,189,210	■								■		■	■	■	■	■	■	■	■	■	■
1	1,189,222	1,280,132									■		■	■	■	■	■	■	■	■	■	■
1	7,145,650	7,149,326	■		■		■	■	■	■	■	■	■	■	■	■	■	■	■	■	■	■
1	7,149,329	7,169,683	■		■	■	■	■	■	■	■	■	■	■	■	■	■	■	■	■	■	■
1	7,169,740	7,209,751			■	■	■		■	■		■	■	■	■	■	■	■	■	■	■	■
1	7,209,767	7,228,387			■		■		■	■			■	■	■	■	■	■	■	■	■	■
1	7,228,449	7,238,121			■					■			■	■	■	■	■	■	■	■	■	■
1	7,238,140	7,317,378								■		■	■	■	■	■	■	■	■	■	■	■
1	7,317,405	7,325,525					■			■		■	■	■	■	■	■	■	■	■	■	■
1	7,325,630	7,342,437								■		■	■	■	■	■	■	■	■	■	■	■
1	7,342,473	7,376,590				■				■		■	■	■	■	■	■	■	■	■	■	■
1	7,379,882	7,385,968											■	■	■	■	■	■	■	■	■	■
1	7,386,219	7,392,314				■			■	■		■	■	■	■	■	■	■	■	■	■	■
1	7,392,339	7,419,180				■			■	□		■	■	■	■	■	■	■	■	■	■	■
1	7,419,247	7,433,826				■			■	■		■	■	■	■	■	■	■	■	■	■	■
1	7,434,001	7,448,516				■				■		■	■	■	■	■	■	■	■	■	■	■
1	7,448,922	7,450,625								■			■	■	■	■	■	■	■	■	■	■
1	7,450,689	7,457,819			■					■			■	■	■	■	■	■	■	■	■	■
1	7,457,821	7,523,899								■			■	■	■	■	■	■	■	■	■	■

1	7,652,342	7,755,891
1	7,755,979	7,760,123
1	7,760,127	7,786,649
1	7,883,301	7,967,437
2	5,102,227	5,108,121
2	5,108,137	5,124,386
2	5,124,392	5,126,128
2	5,126,146	5,134,274
2	5,134,336	5,141,094
3	725,571	750,842
3	987,257	999,959
3	1,138,355	1,149,506
3	2,425,709	2,443,127
3	2,443,323	2,448,566
3	2,448,575	2,455,826
3	3,856,290	3,861,260
3	3,861,297	3,867,011
3	3,904,719	3,912,448
4	2,672,386	2,877,317
4	3,103,253	3,106,103
4	3,127,333	3,135,347
4	3,254,320	3,298,124
4	3,298,130	3,301,092
4	3,301,101	3,473,750
4	3,588,905	3,661,633
4	3,661,640	3,665,703
4	3,665,704	3,682,431
4	3,682,442	3,725,795
4	3,725,833	3,789,536
4	3,789,548	3,792,644
4	3,792,839	3,859,816
4	3,873,026	3,928,684
5	77,057	84,438
5	1,985,354	1,991,214
5	2,914,415	2,930,963
5	2,948,097	2,957,709

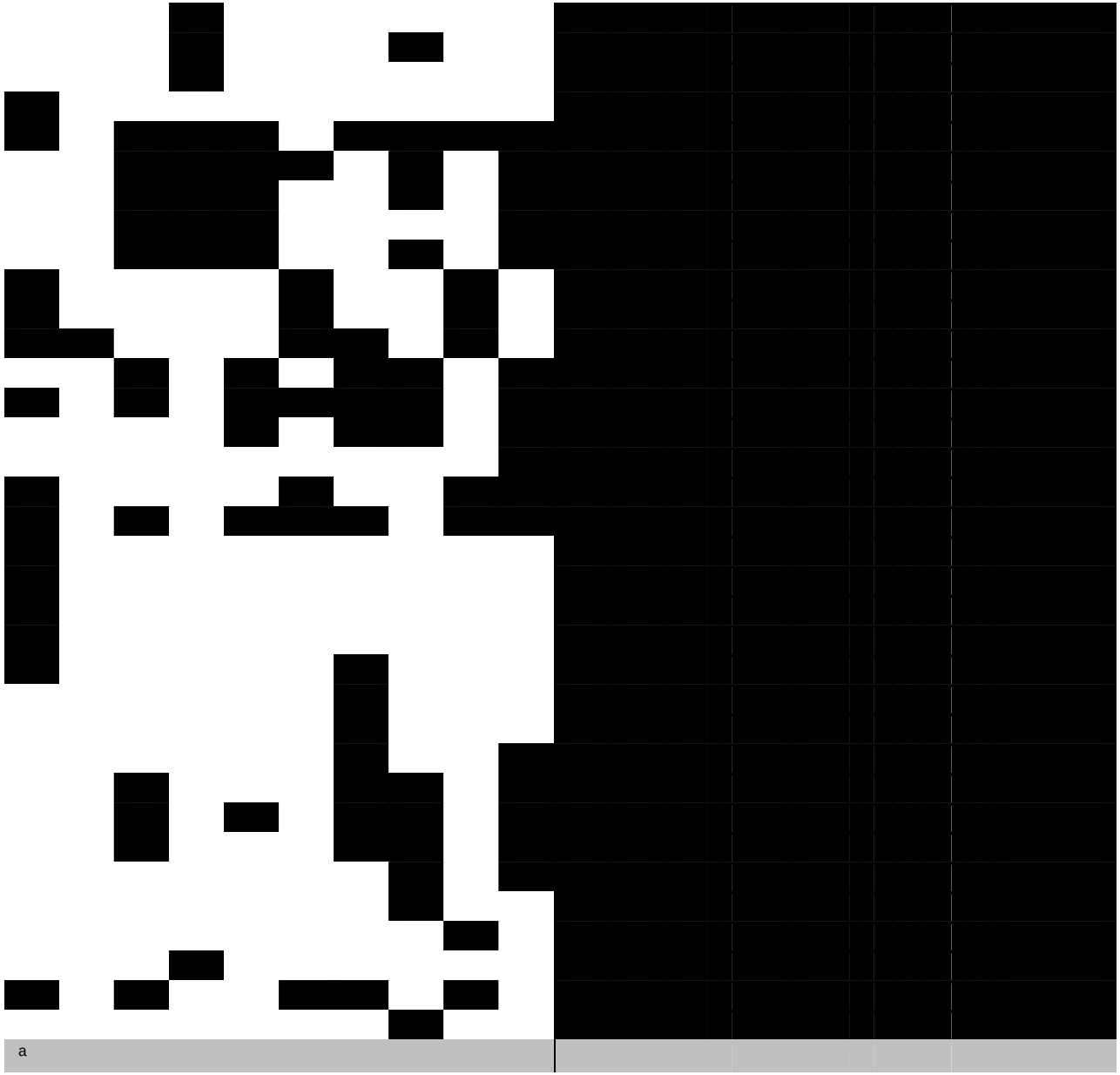

5	2,958,545	2,984,984	
5	3,264,643	3,275,025	
5	3,306,600	3,323,305	
5	3,333,843	3,335,682	
5	3,354,292	3,358,164	
6	232,572	234,319	
6	239,463	241,215	

[a] Gray rows indicate instances of possible bi-direction introgression where native and introgressed haplotypes cannot be distinguished